

# Modelado de Inversores Resonantes

Introduction

Fundamentos

Modelos equivalentes

Simulación de la aproximación fundamental

Simulación de las envolventes

**Francisco Javier Azcondo Sánchez**

En un convertidor cc/cc obtenemos un modelo equivalente promediado siendo el ciclo de trabajo el parámetro de control.

En un convertidor resonante la tensión de salida depende de:

- La frecuencia de conmutación (FM).
- El desfase de la intensidad resonante (PM).
- La tensión de entrada (AM).

La campana de resonancia nos da a conocer el punto de trabajo.

Lo que queremos conocer es la respuesta del convertidor ante perturbaciones de los parámetros de control.

p.e. Cuánto varía la tensión de salida si la frecuencia de conmutación varía 1Hz a una frecuencia de 1, 10, 100Hz, etc...

Qué desfase tiene la variación de la tensión de salida con respecto a la variación de la frecuencia.

Utilizando la aproximación fundamental si la frecuencia de conmutación es constante, una función del inversor se puede expresar como

$$x(t) = \operatorname{Re}[\bar{x}(t)e^{jw_s t}]$$

$\bar{x}(t)$  Es la amplitud del fasor que puede variar en el tiempo

Si  $w_s$  puede variar en el tiempo, el fasor queda redefinido de la siguiente forma

$$x(t) = \operatorname{Re}\left[\bar{x}(t)e^{j\int w_s(t)dt}\right]$$

Tensiones e intensidades en el circuito resonantes quedan da la forma

$$v(t) = \operatorname{Re} \left[ \bar{v}(t) e^{j \int w_s(t) dt} \right]$$

$$i(t) = \operatorname{Re} \left[ \bar{i}(t) e^{j \int w_s(t) dt} \right]$$

En el caso de una inductancia

$$L \frac{di_L(t)}{dt} = v_L(t) \quad \text{Relaciona valores instantáneos}$$

$$L \frac{d\bar{i}_L(t)}{dt} + j w_s(t) L \bar{i}_L(t) = \bar{v}_L(t) \quad \text{Relaciona amplitudes (envolventes)}$$

## En el caso de un condensador

$$C \frac{dv_C(t)}{dt} = i_C(t) \quad \text{Relaciona valores instantáneos}$$

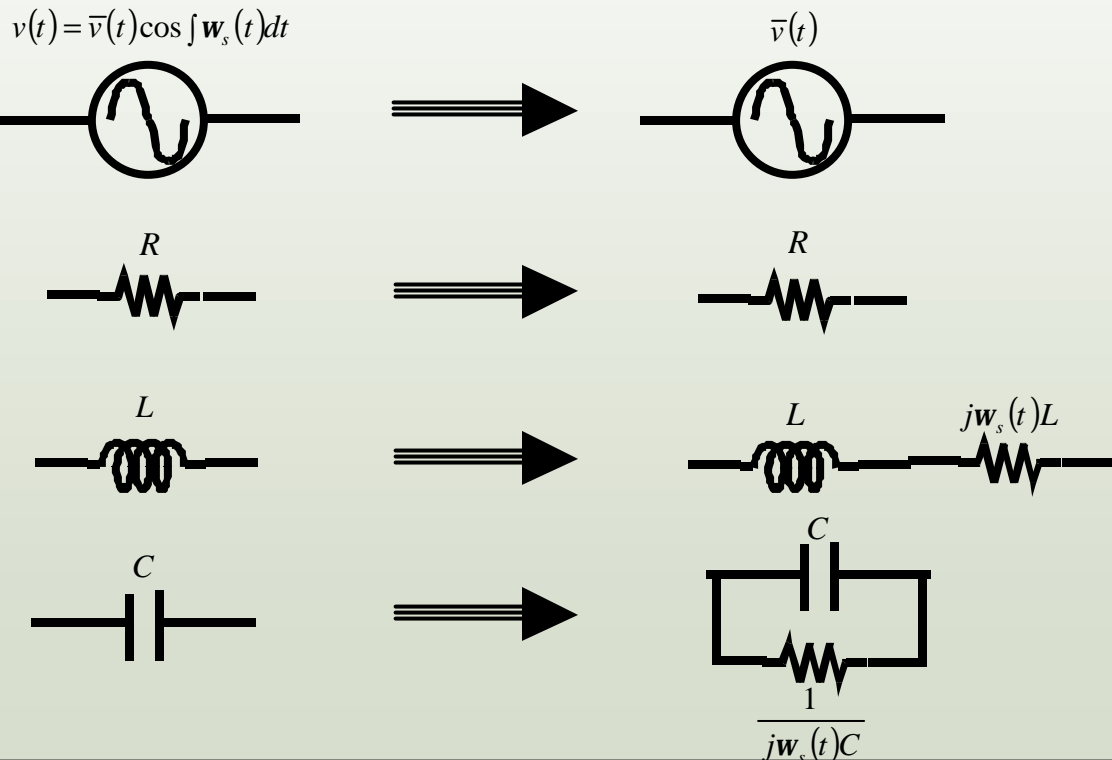
$$C \frac{d\bar{v}_C(t)}{dt} + jw_s(t)C\bar{v}_C(t) = \bar{i}_C(t) \quad \text{Relaciona amplitudes (envolventes)}$$

## En el caso de una fuente de tensión

$$v(t) = \operatorname{Re} \left[ \bar{v}(t) e^{j \int w_s(t) dt} \right] \implies v(t) = \bar{v}(t) \cos \left( \int w_s(t) dt \right)$$

Si quiero estudiar las funciones envolventes en lugar de los valores instantáneos utilizaré el circuito que me relaciona las variables  $\bar{x}(t)$

En gran señal, para obtener la simulación .tran de las envolventes



Los valores de los componentes equivalentes de inductancias y condensadores tienen parte real y parte imaginaria por lo que nos posible realizar la simulación.

Solución: simular el circuito que obtiene cada componente ortogonal de las envolventes y posteriormente realizar la suma cuadrática.

$$\bar{x}(t) = x_1(t) + jx_2(t) \quad |\bar{x}(t)| = \sqrt{x_1^2(t) + x_2^2(t)}$$

$$L \frac{d\bar{i}_L(t)}{dt} + jw_s(t)L\bar{i}_L(t) = \bar{v}_L(t)$$

$$L \frac{d(i_{1L}(t) + ji_{2L}(t))}{dt} + jw_s(t)L(i_{1L}(t) + ji_{2L}(t)) = v_{1L}(t) + jv_{2L}(t)$$

$$L \frac{di_{1L}(t)}{dt} - w_s(t)L i_{2L}(t) = v_{1L}(t)$$

$$L \frac{di_{2L}(t)}{dt} + w_s(t)L i_{1L}(t) = v_{2L}(t)$$

# Modelos equivalentes (III)

$$C \frac{d\bar{v}_C(t)}{dt} + j\mathbf{w}_s(t)C\bar{v}_C(t) = \bar{i}_C(t)$$

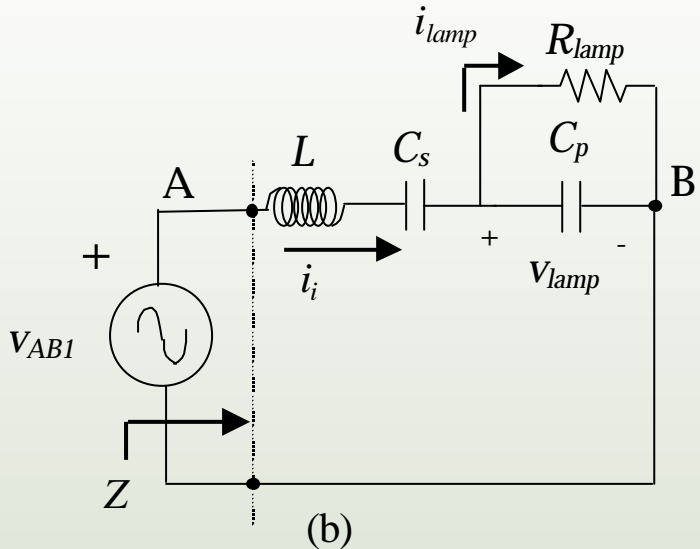
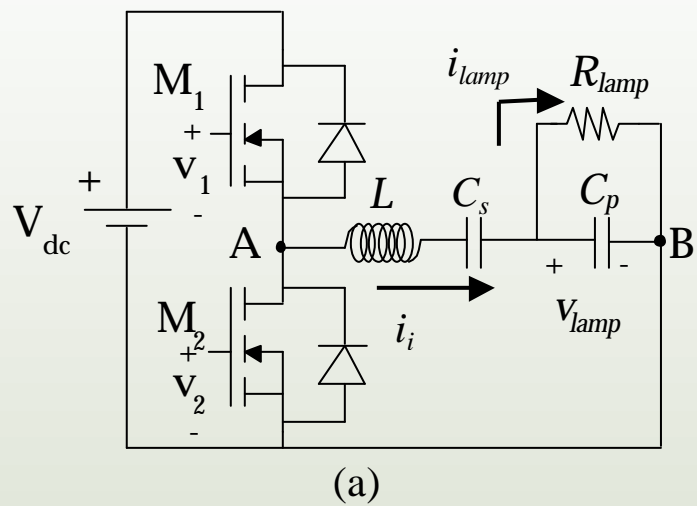
$$C \frac{d(v_{1C}(t) + jv_{2C}(t))}{dt} + j\mathbf{w}_s(t)C(v_{1C}(t) + jv_{2C}(t)) = (i_{1C}(t) + ji_{2C}(t))$$

$$C \frac{dv_{1C}(t)}{dt} - \mathbf{w}_s(t)Cv_{2C}(t) = i_{1C}(t) \quad C \frac{dv_{2C}(t)}{dt} + \mathbf{w}_s(t)Cv_{1C}(t) = i_{2C}(t)$$

$$\bar{v}(t) = v_1(t) + jv_2(t)$$

$$v_{1R}(t) = Ri_{1R}(t) \quad v_{2R}(t) = Ri_{2R}(t)$$

## Ejemplo de inversor resonante LCpCs



$$v_{AB1} = v(t) = \bar{v}(t) \cos(\int w_s(t) dt)$$

**Si no existe AM ni FM**

$$v_{AB1} = \hat{V}_{AB1} \sin(w_s t)$$

**Si existe AM y no FM**

$$v_{AB1} = [\hat{V}_{AB1} + A_{AM} \sin(2\pi f_{AM} t)] \sin(w_s t)$$

**A<sub>AM</sub> es la amplitud de la modulación de amplitud**  
**f<sub>AM</sub> es la frecuencia de la modulación de amplitud**

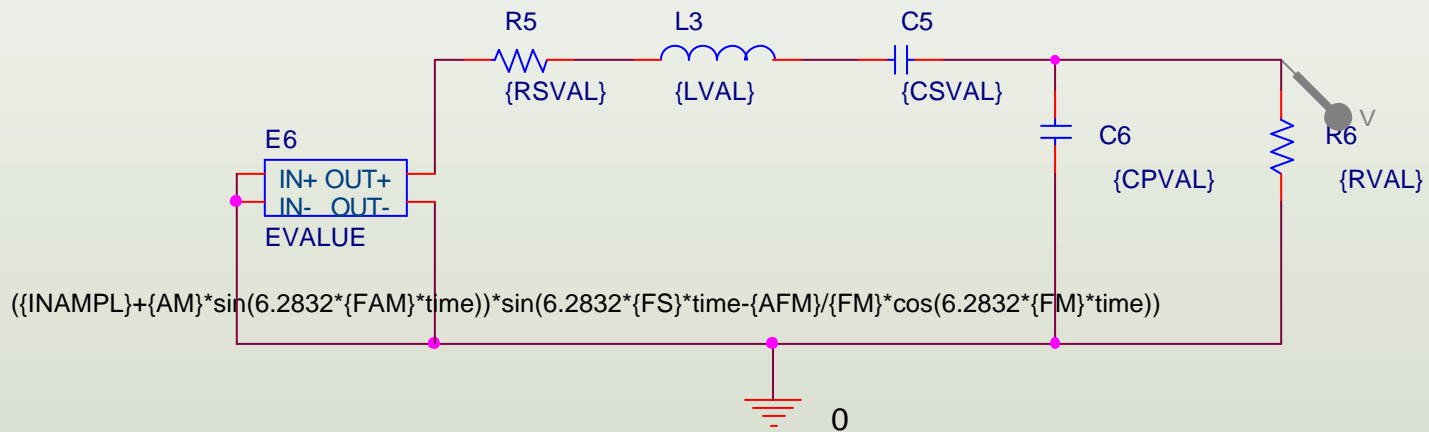
**Si existe FM y no AM**

$$v_{AB1} = \hat{V}_{AB1} \sin \left( \int [w_s + 2\pi A_{FM} \sin(2\pi f_{FM} t)] dt \right)$$

**A<sub>FM</sub> es la amplitud de la modulación de amplitud**  
**f<sub>FM</sub> es la frecuencia de la modulación de amplitud**

Si existe AM y FM

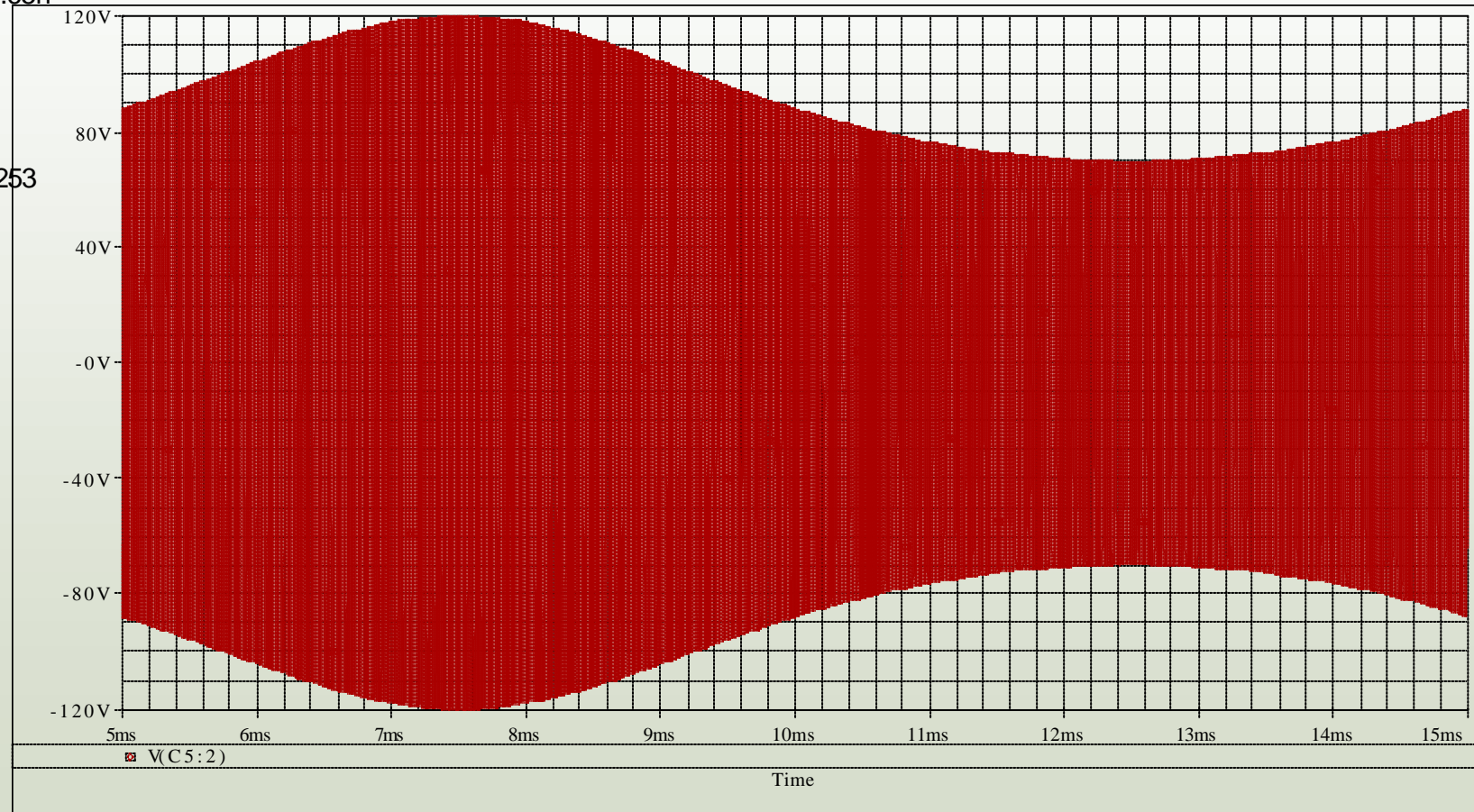
$$v_{AB1} = \left[ \hat{V}_{AB1} + A_{AM} \sin(2\pi f_{AM} t) \right] \sin \left( 2\pi f_s t + \frac{A_{FM}}{f_{FM}} \cos(2\pi f_{FM} t) \right)$$



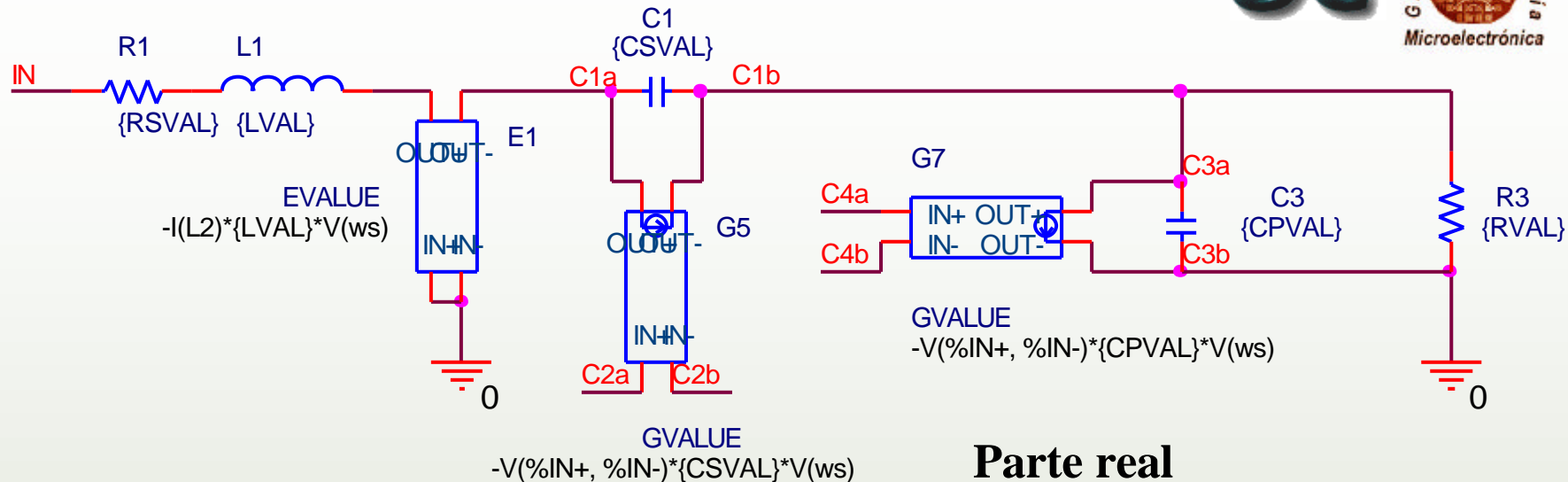
# Simulación de la aproximación fundamental (IV)

## PARAMETERS:

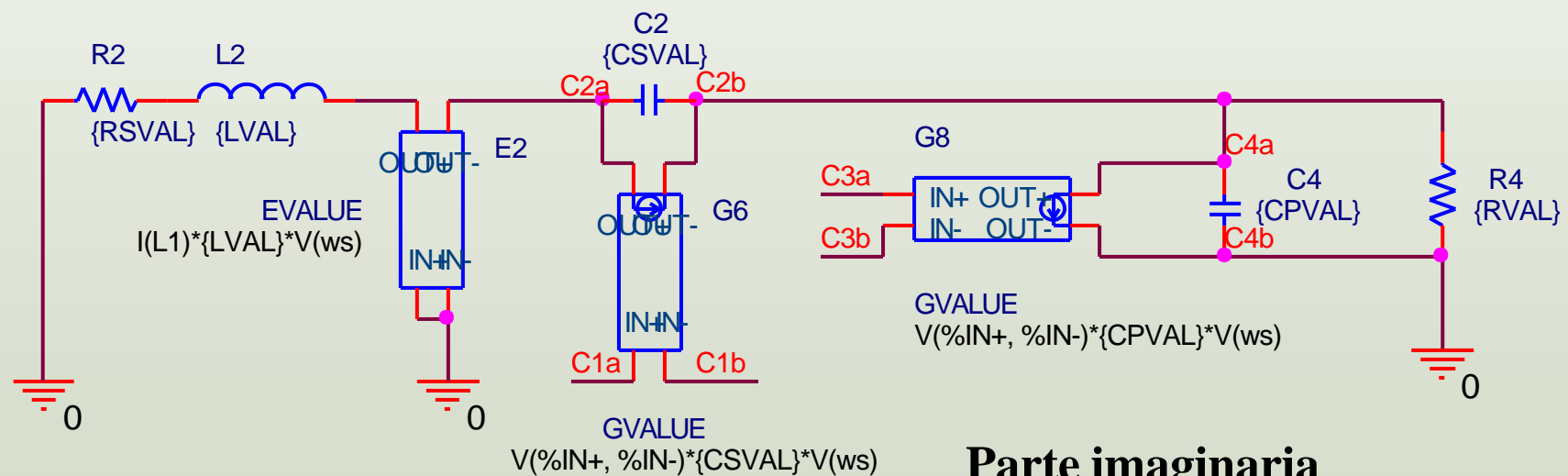
RVAL = 66  
LVAL = 330u  
CSVAL = 16.5n  
CPVAL = 1.65n  
FS = 125k  
FAM = 100  
AM = 0  
AFM = 20k  
FM = 100  
INAMPL = 253  
RSVAL = 2



# Simulación de las envolventes (I)

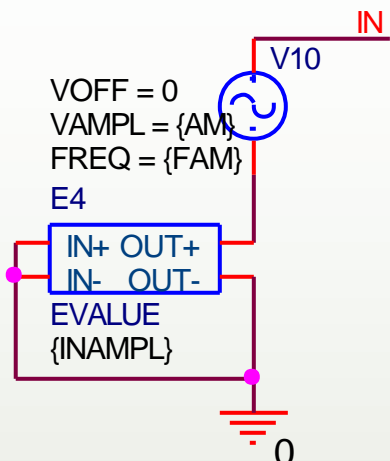


Parte real

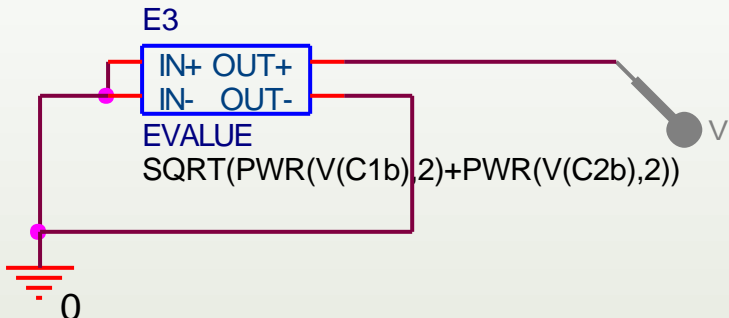


Parte imaginaria

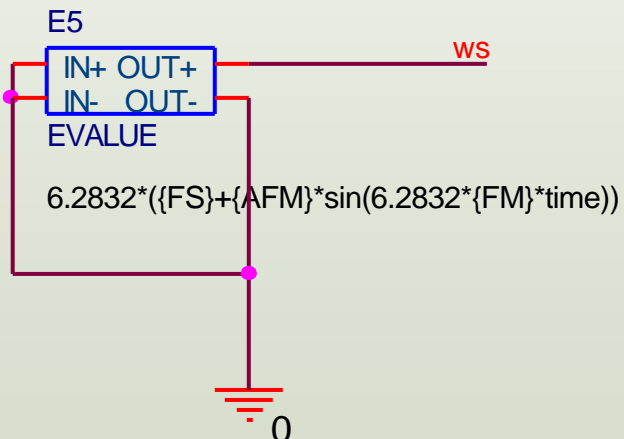
# Simulación de las envolventes (II)



Alimentación y modulación de amplitud



Obtención de la tensión de salida

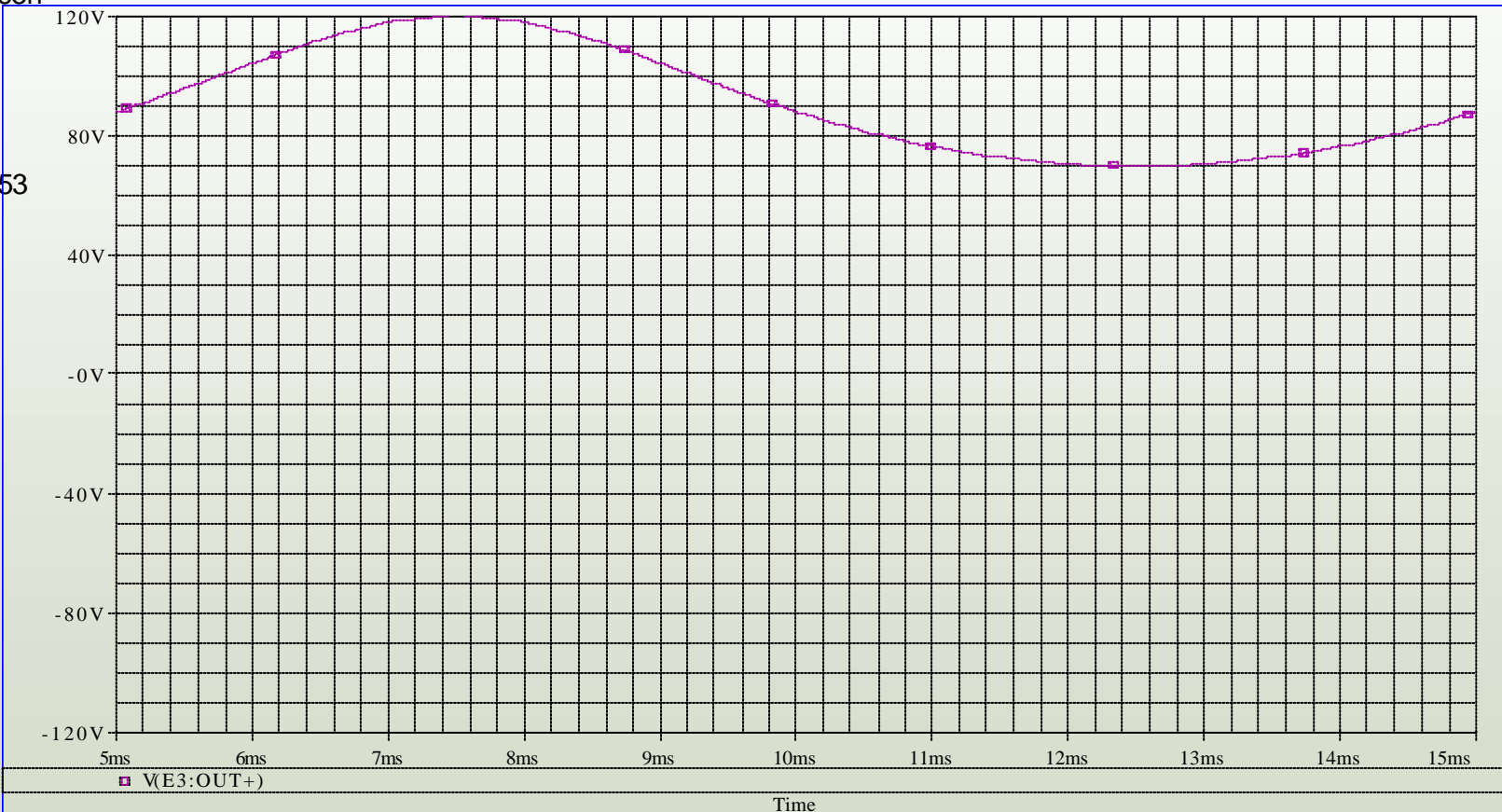


Frecuencia de conmutación y modulación de frecuencia

# Simulación de las envolventes (III)

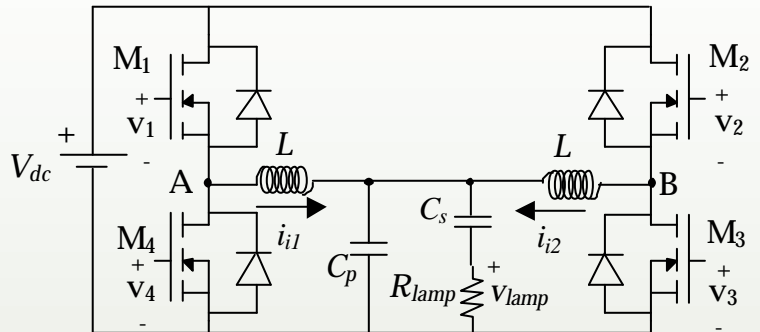
## PARAMETERS:

RVAL = 66  
LVAL = 330u  
CSVAL = 16.5n  
CPVAL = 1.65n  
FS = 125k  
FAM = 100  
AM = 0  
AFM = 20k  
FM = 100  
INAMPL = 253  
RSVAL = 2

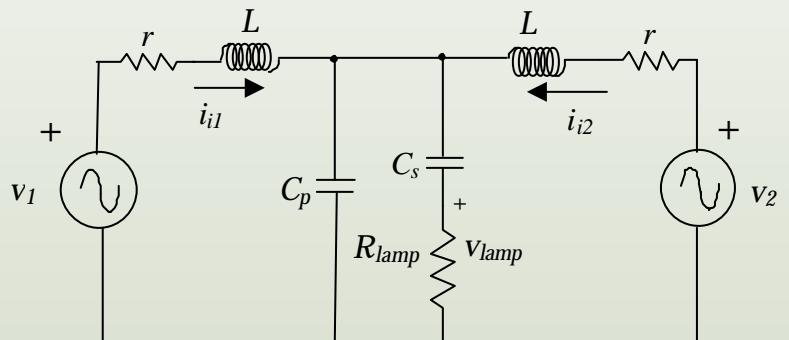


# Caso del doble LCC (I)

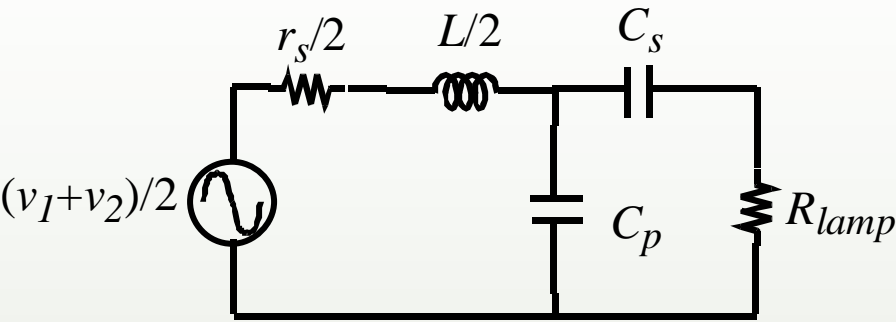
## Aproximación fundamental



(a)



(b)



$$v_{1,2}(t) = \frac{2V_{dc}}{p} \cdot \sin\left(\omega_s t \pm \frac{\Psi}{2}\right)$$

$$\bar{v}_{1,2} = \frac{2V_{dc}}{p} \cdot e^{\pm j(\Psi/2)}$$

$$\frac{v_1 + v_2}{2} = \frac{2V_{dc}}{p} \cdot \sin(\omega_s t) \cos\left(\frac{\Psi}{2}\right)$$

## Aproximación fundamental

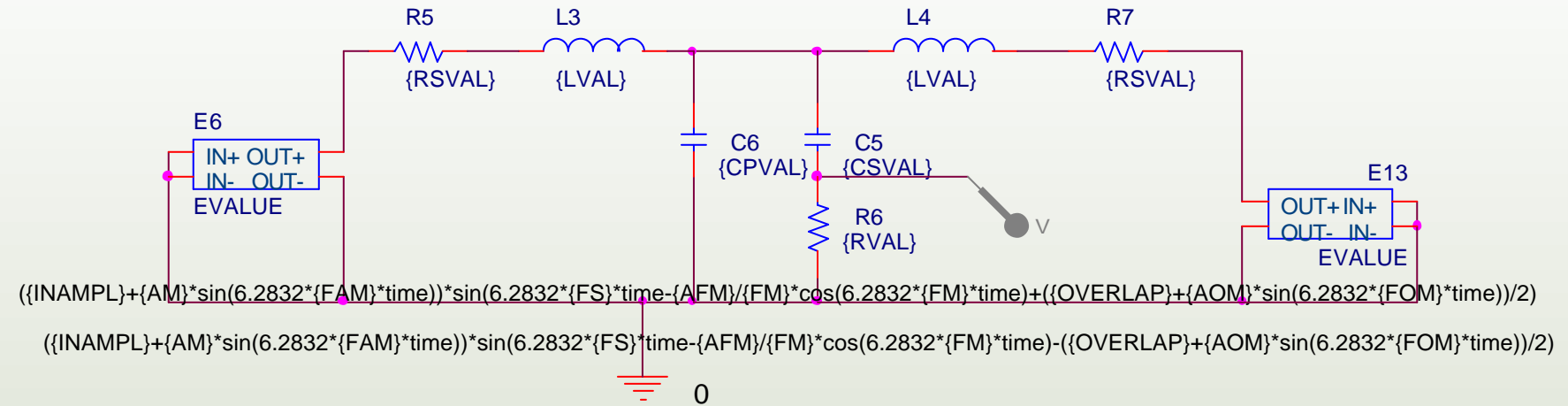
$$v_1 = [\hat{V}_{AB1} + A_{AM} \sin(2\pi f_{AM} t)] \sin \left( 2\pi f_s t + \frac{A_{FM}}{f_{FM}} \cos(2\pi f_{FM} t) + \frac{y + A_{OM} \sin(2\pi f_{OM} t)}{2} \right)$$

$$v_2 = [\hat{V}_{AB1} + A_{AM} \sin(2\pi f_{AM} t)] \sin \left( 2\pi f_s t + \frac{A_{FM}}{f_{FM}} \cos(2\pi f_{FM} t) - \frac{y + A_{OM} \sin(2\pi f_{OM} t)}{2} \right)$$

Siendo  $y$  el ángulo de solape del punto de trabajo,  $A_{OM}$  la amplitud de la modulación del solape (ambos en radianes) y  $f_{OM}$  la frecuencia de la modulación del solape.

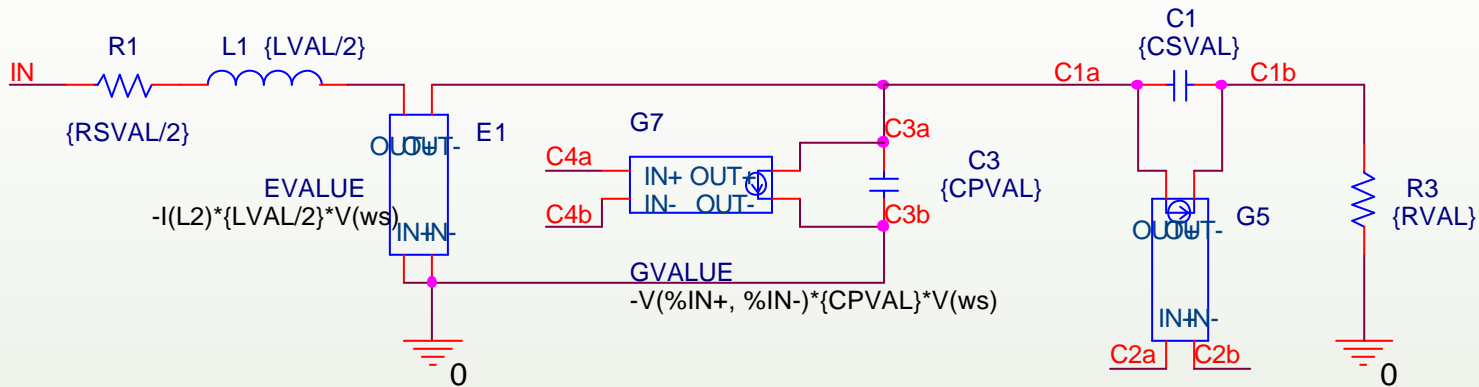
# Caso del doble LCC (III)

## Simulación de la aproximación fundamental.

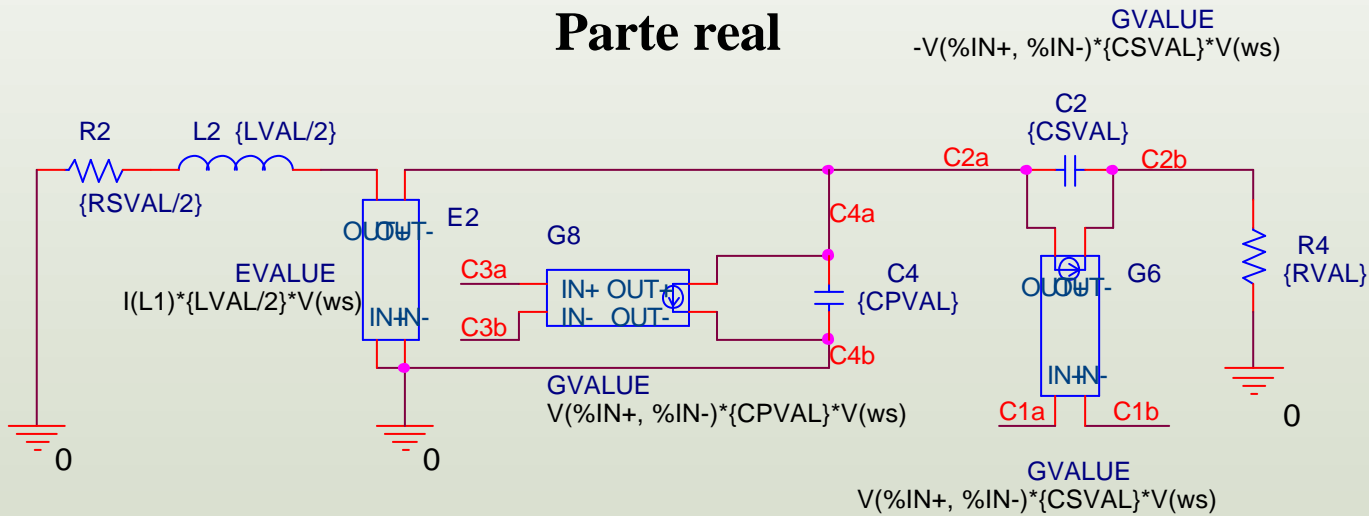


# Caso del doble LCC (IV)

## Simulación de las envolventes, caso 1.

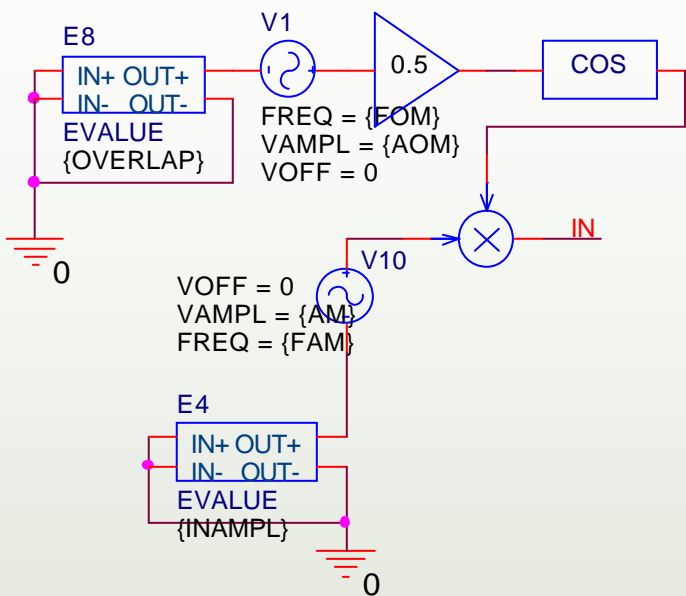


Parte real

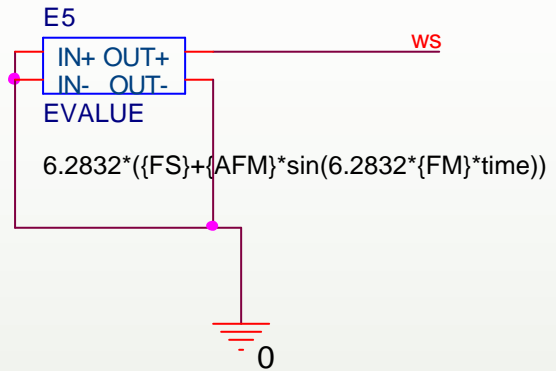


Parte imaginaria

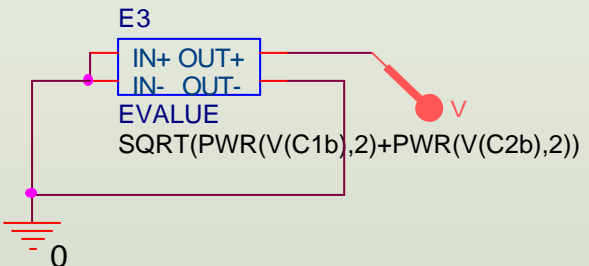
# Caso del doble LCC (V)



Alimentación, modulación de amplitud, solape y modulación de solape



Frecuencia de conmutación y modulación de frecuencia



Obtención de la tensión de salida

# Caso del doble LCC (VI)

## PARAMETERS:

RVAL = 67

LVAL = 293u

CSVAL = 470n

CPVAL = 4.7n

FS = 100k

FAM = 100

AM = 0

AFM = 0

FM = 100

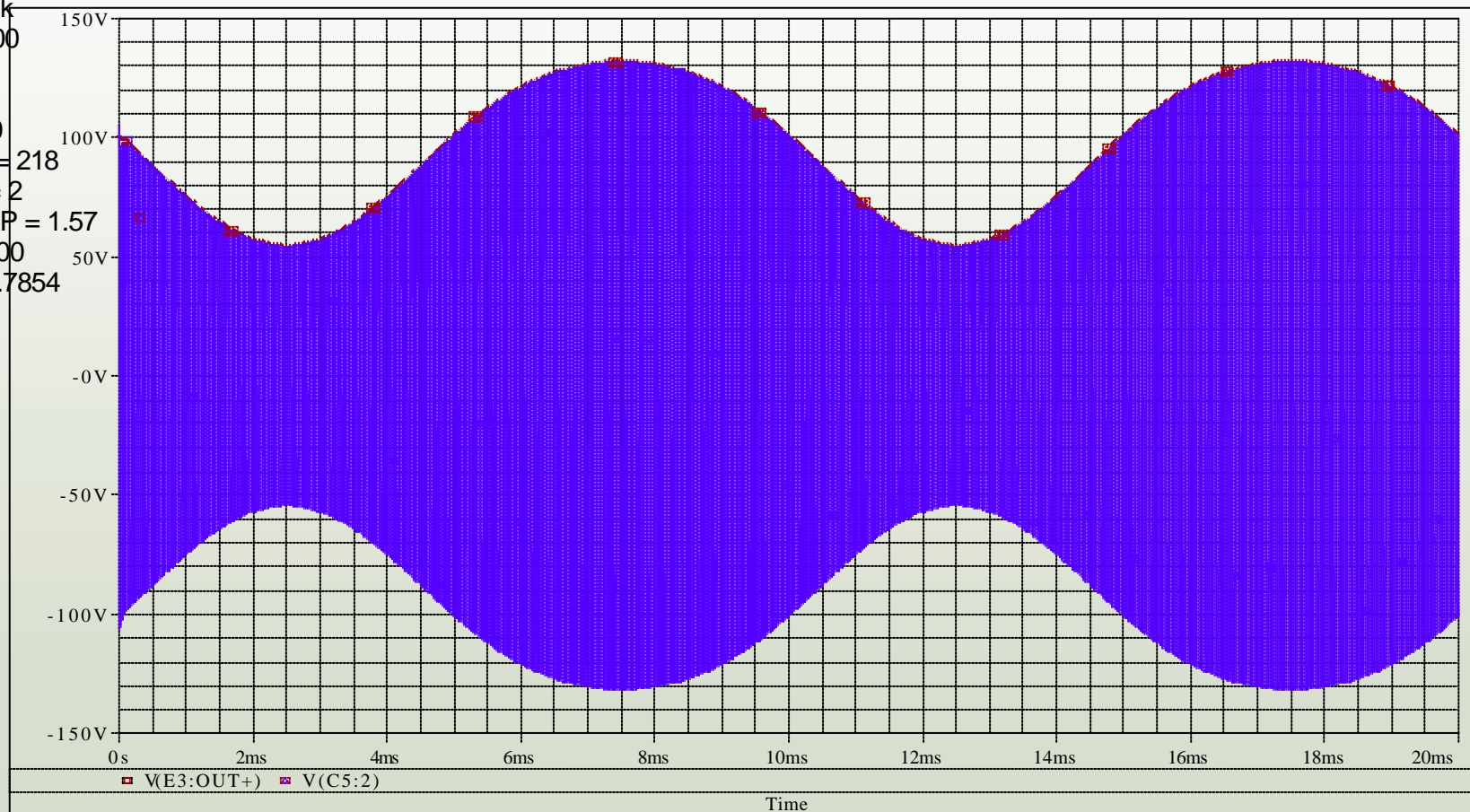
INAMPL = 218

RSVAL = 2

OVERLAP = 1.57

FOM = 100

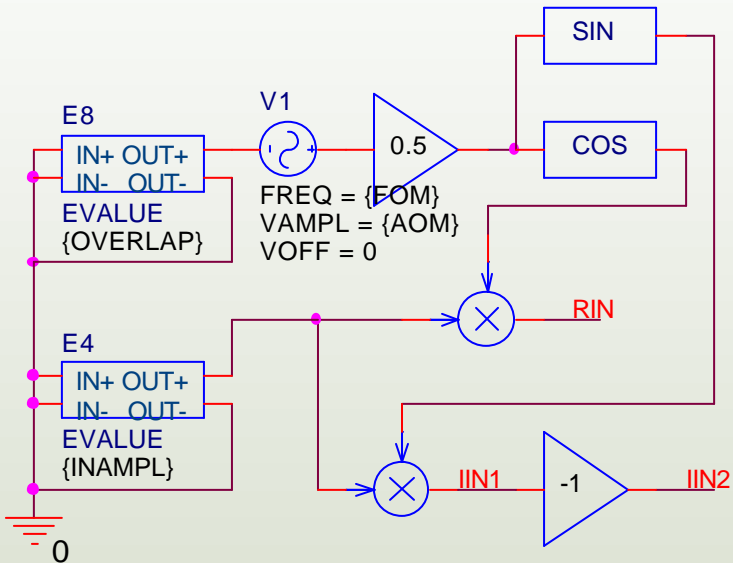
AOM = 0.7854



# Caso del doble LCC (VII)

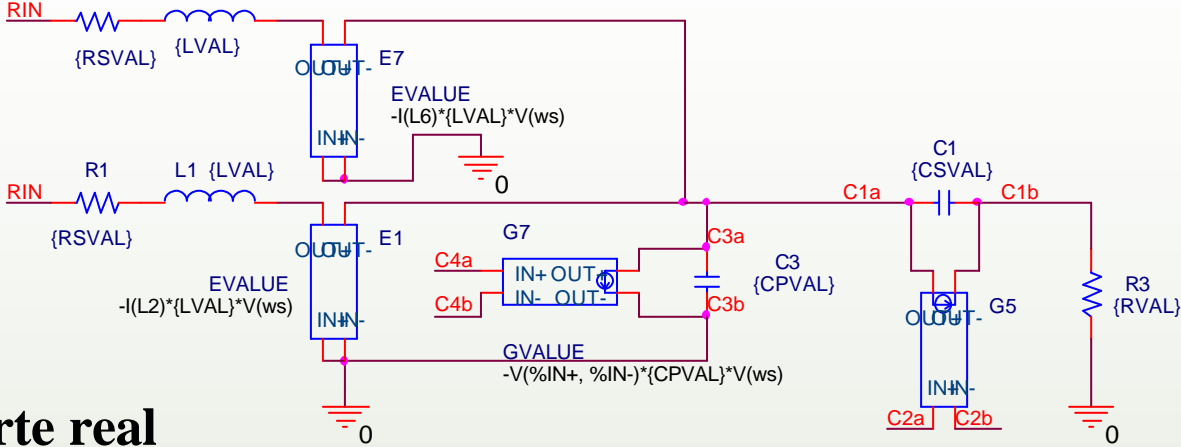
Simulación de las envolventes, caso 2 generalizable para n fases.

$$\bar{v}_{1,2} = \frac{2V_{dc}}{p} \cdot e^{\pm j(\Psi/2)} \quad \bar{v}_{1,2} = \operatorname{Re}[\bar{v}_{12}] \pm j \operatorname{Im}[\bar{v}_{12}]$$

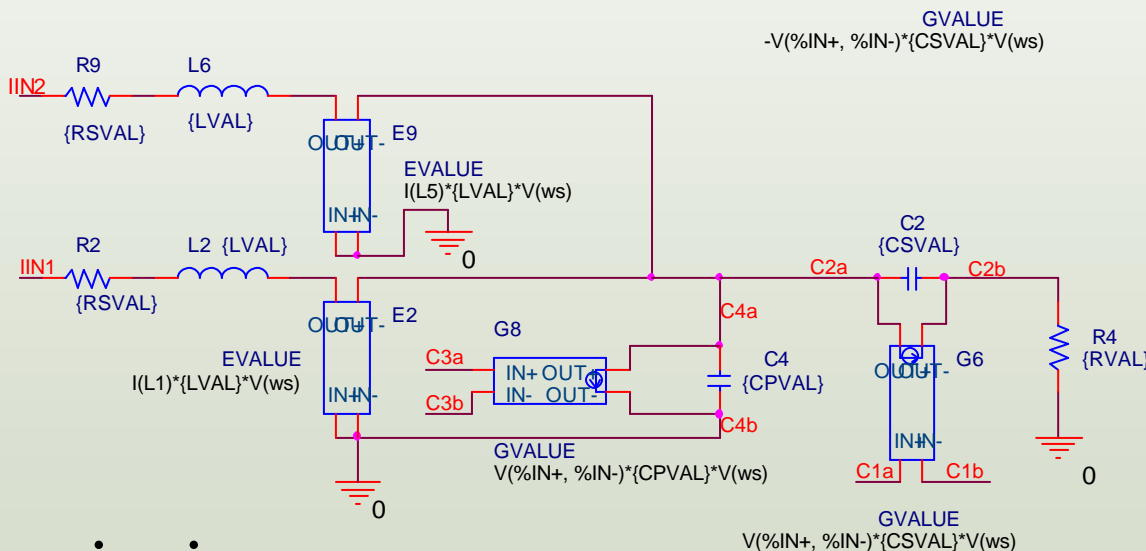


**Alimentación, modulación de amplitud,  
solape y modulación de solape para la  
parte real e imaginaria**

# Caso del doble LCC (VIII)



Parte real



Parte imaginaria

$$\bar{x} = \overline{X} + \hat{x}$$

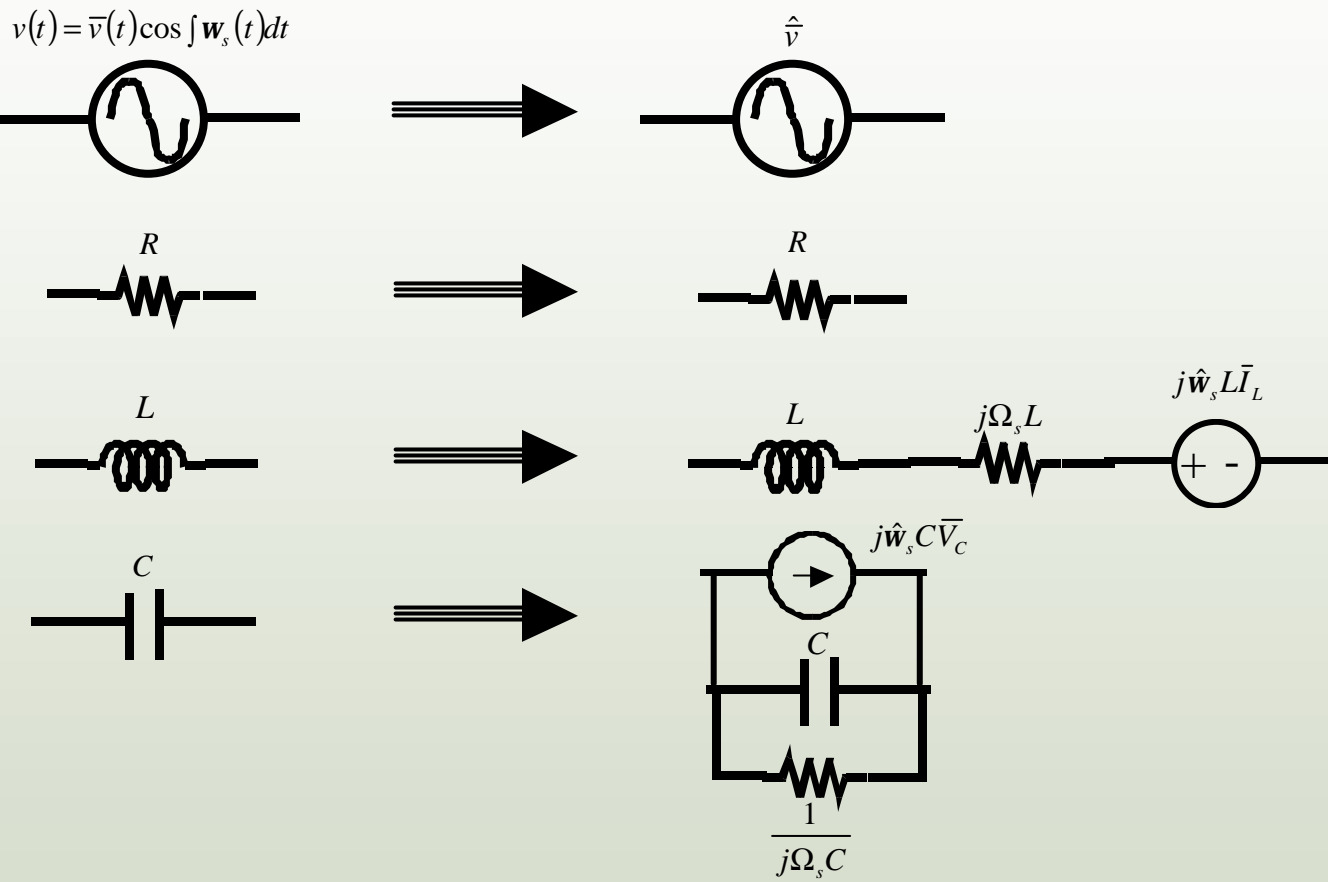
$$\overline{V}_L + \hat{\bar{v}}_L = L \frac{d(\bar{I}_L + \hat{\dot{i}}_L)}{dt} + j(\Omega_s + \hat{w}_s)L(\bar{I}_L + \hat{\dot{i}}_L)$$

$$\hat{\bar{v}}_L = L \frac{d\hat{\dot{i}}_L}{dt} + jL\hat{w}_s\bar{I}_L + jL\Omega_s\hat{i}_L$$

$$\bar{I}_C + \hat{\dot{i}}_C = C \frac{d(\bar{V}_C + \hat{\bar{v}}_C)}{dt} + j(\Omega_s + \hat{w}_s)C(\bar{V}_C + \hat{\bar{v}}_C)$$

$$\hat{\dot{i}}_C = C \frac{d\hat{\bar{v}}_C}{dt} + jC\hat{w}_s\bar{V}_C + jC\Omega_s\hat{\bar{v}}_C$$

Si quiero estudiar las funciones de transferencia

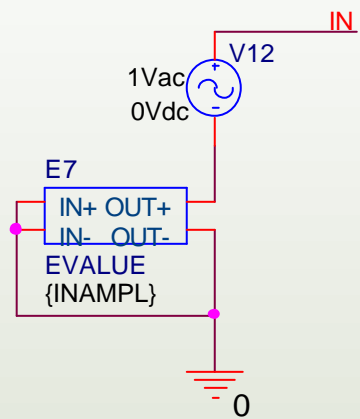


Para obtener el valor de las variables en ac partimos de las componentes ortogonales de las variables en ac

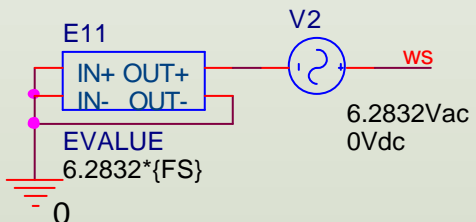
$$|\bar{x}(t)| = \sqrt{x_1^2(t) + x_2^2(t)} = x_{en}(t)$$

$$\hat{x}_{en} = \frac{X_1 \hat{x}_1 + X_2 \hat{x}_2}{\sqrt{X_1^2(t) + X_2^2(t)}} = \frac{X_1 \hat{x}_1 + X_2 \hat{x}_2}{X}$$

Pero no tengo que modificar el circuito PSPICE, sino que utilizando el mismo modelo de envolventes fijaré un punto de funcionamiento añadiendo fuentes  $v_{ac}$  y realizando una simulación .ac

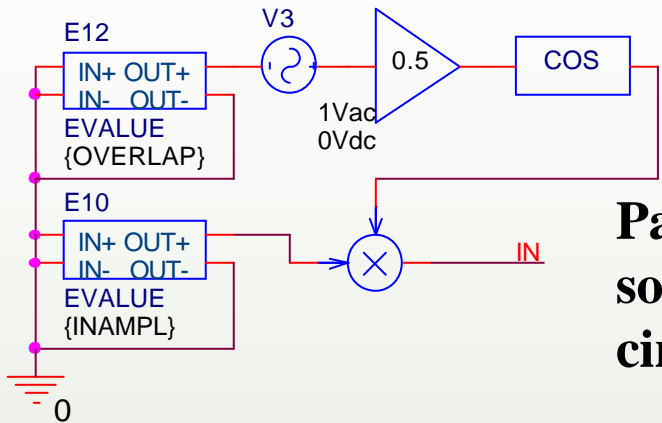


Para obtener la simulación .ac con modulación de amplitud

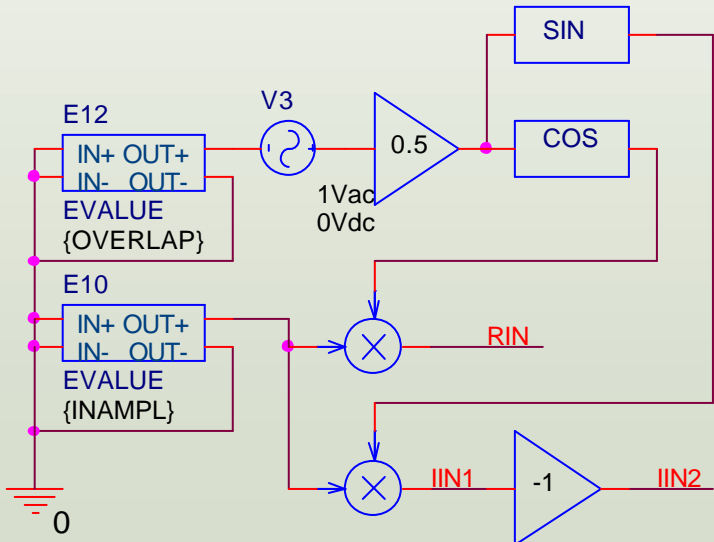


Para obtener la simulación .ac con modulación de frecuencia

# Pequeña señal (V)



Para obtener la simulación .ac con modulación del solape en el doble LCC. Caso 1, utilizando el circuito monofásico equivalente



Para obtener la simulación .ac con modulación del solape en el doble LCC. Caso2, Sin utilizar el circuito monofásico equivalente.

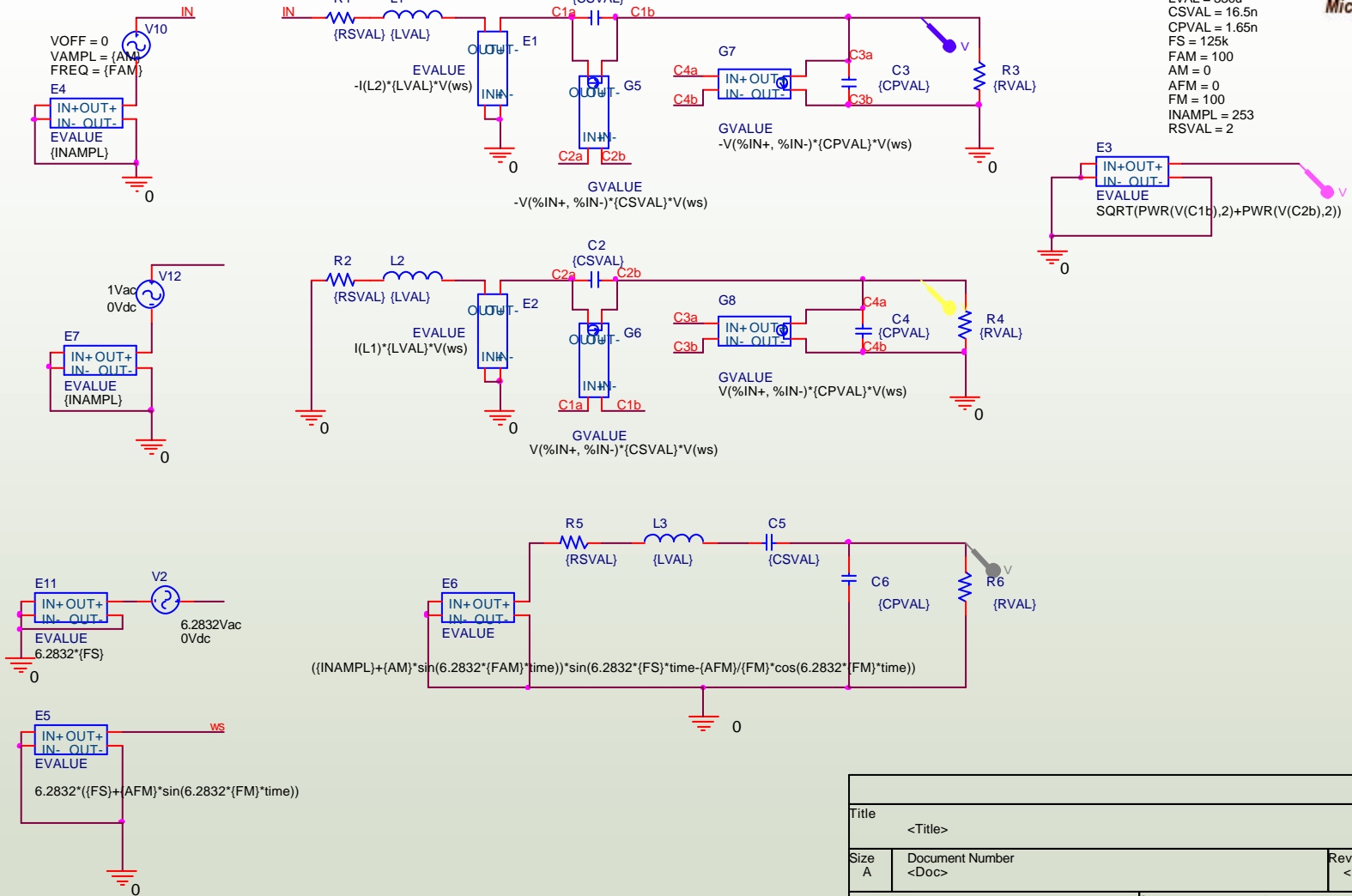
**Paso 1. Realizar la simulación con el modelo de envolventes sin aplicar modulación para obtener los valores de las  $X_1$ ,  $X_2$  y  $X$  de interés.**

**Paso 2. Realizar la simulación .ac de la que se obtienen valores  $\hat{x}_1$ ,  $\hat{x}_2$**

**Paso 3. Realizar en la gráfica de resultados la operación**

$$\hat{x}_{en} = \frac{X_1\hat{x}_1 + X_2\hat{x}_2}{\sqrt{X_1^2(t) + X_2^2(t)}} = \frac{X_1\hat{x}_1 + X_2\hat{x}_2}{X}$$

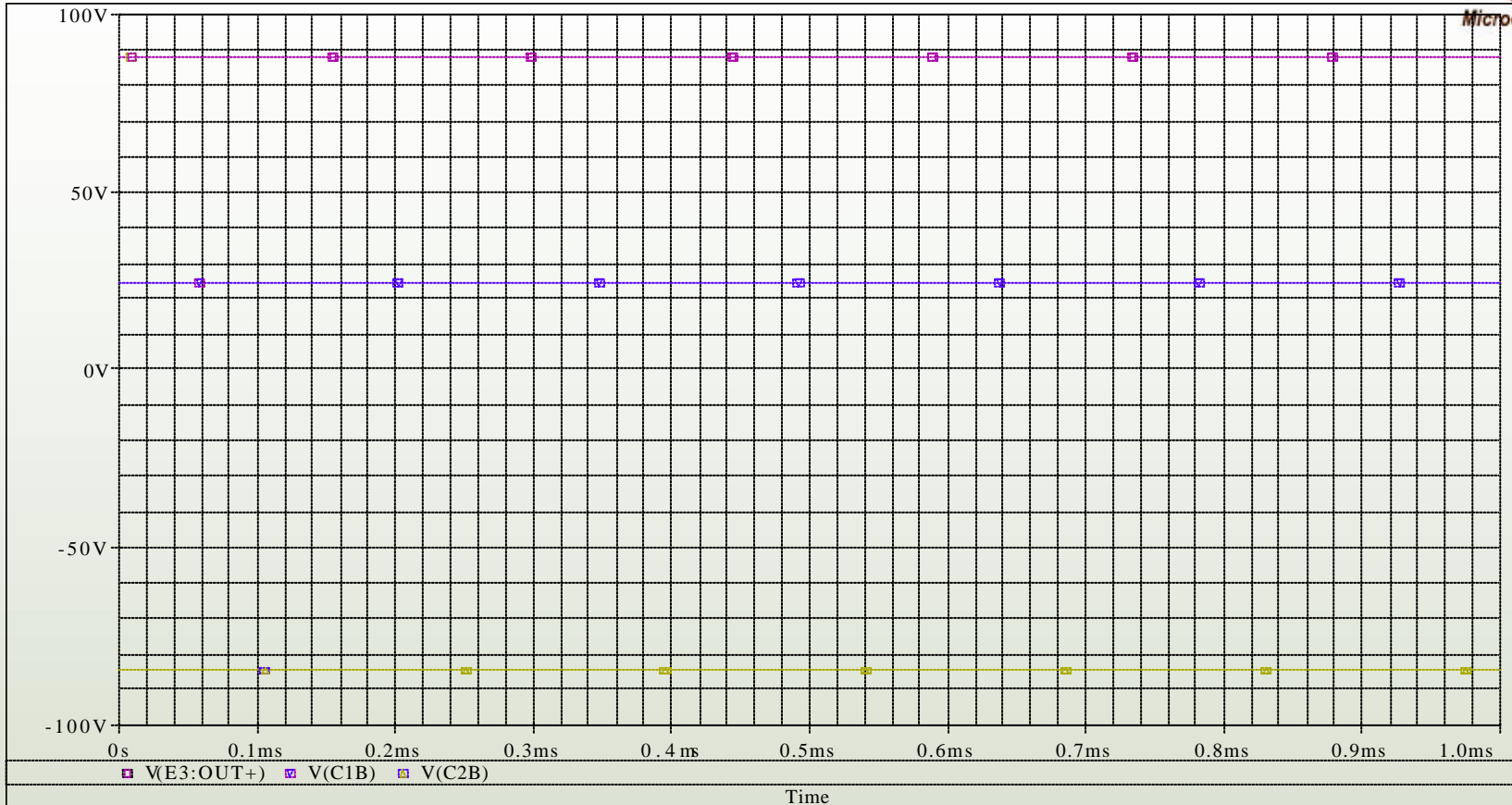
# Pequeña señal (VII)



Title		<Title>
Size	Document Number	Rev
A	<Doc>	<RevCode>

Date: Friday, January 21, 2005 Sheet 1 of 1

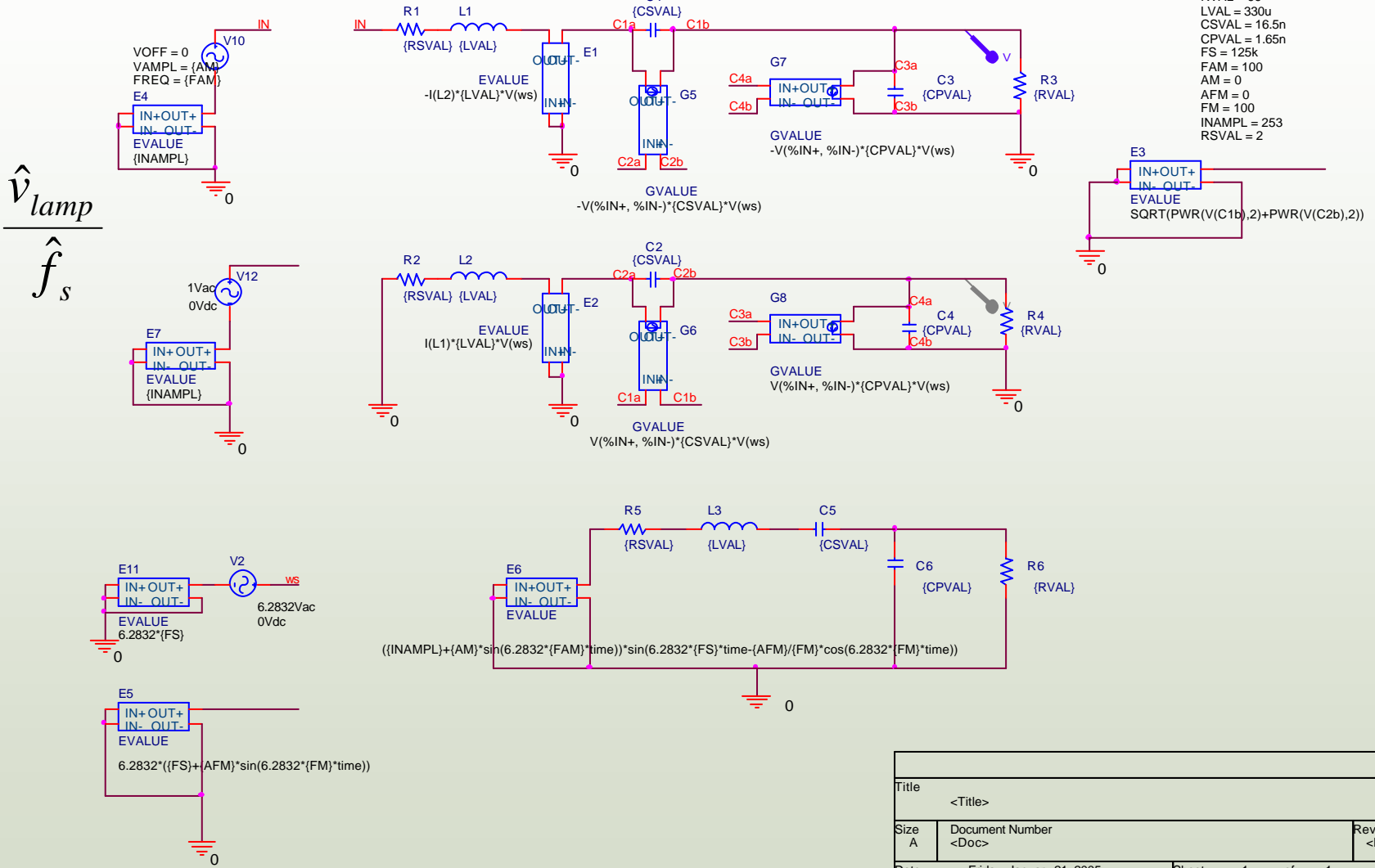
# Pequeña señal (VIII)



**Valor de la amplitud de la tensión de salida**

$$V_{\text{lamp}} = 88,078 \text{V}, V_{\text{lamp}1} = 24,36 \text{V}, V_{\text{lamp}2} = -84,643 \text{V}$$

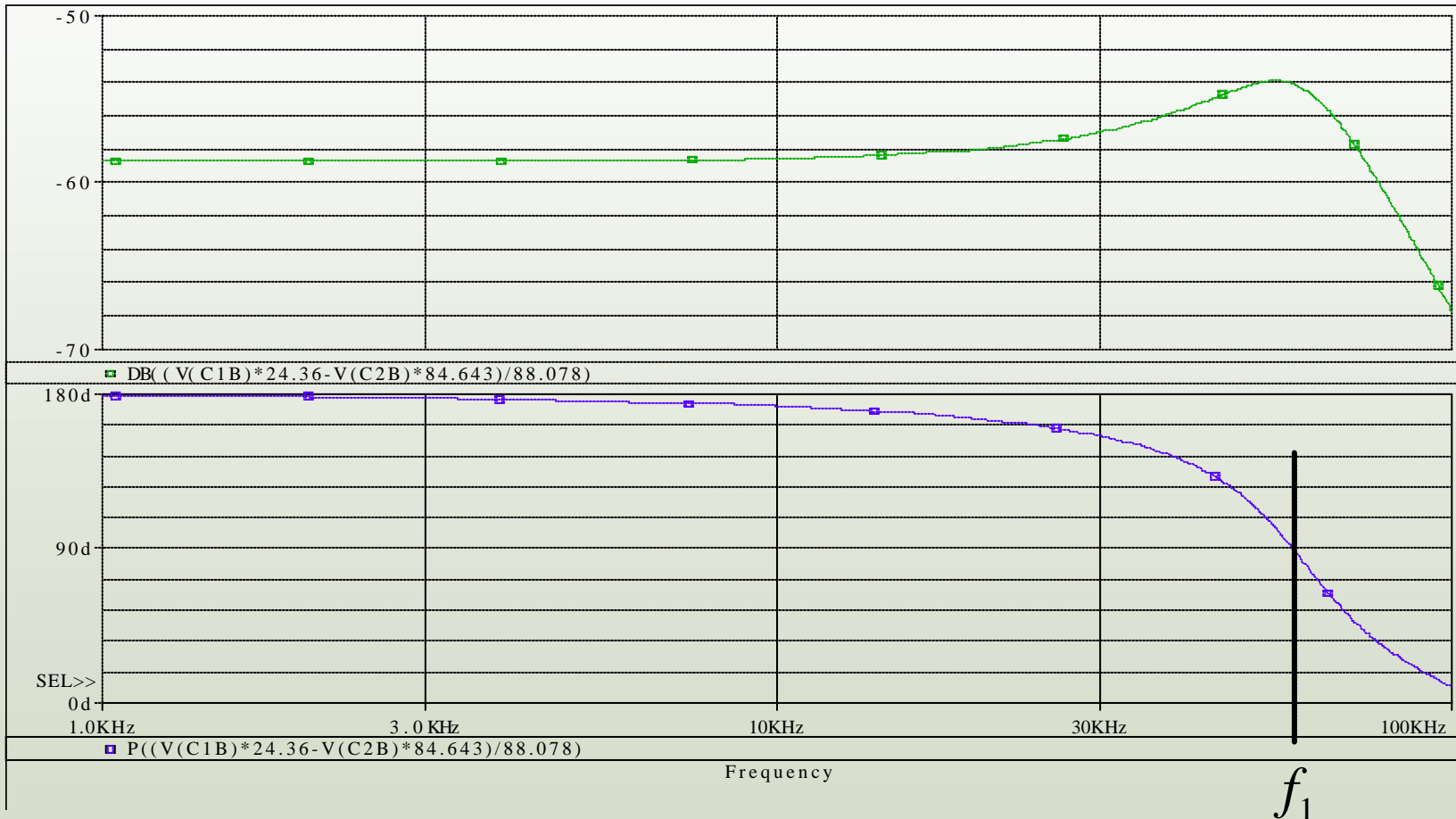
# Pequeña señal (IX)



# Pequeña señal (X)

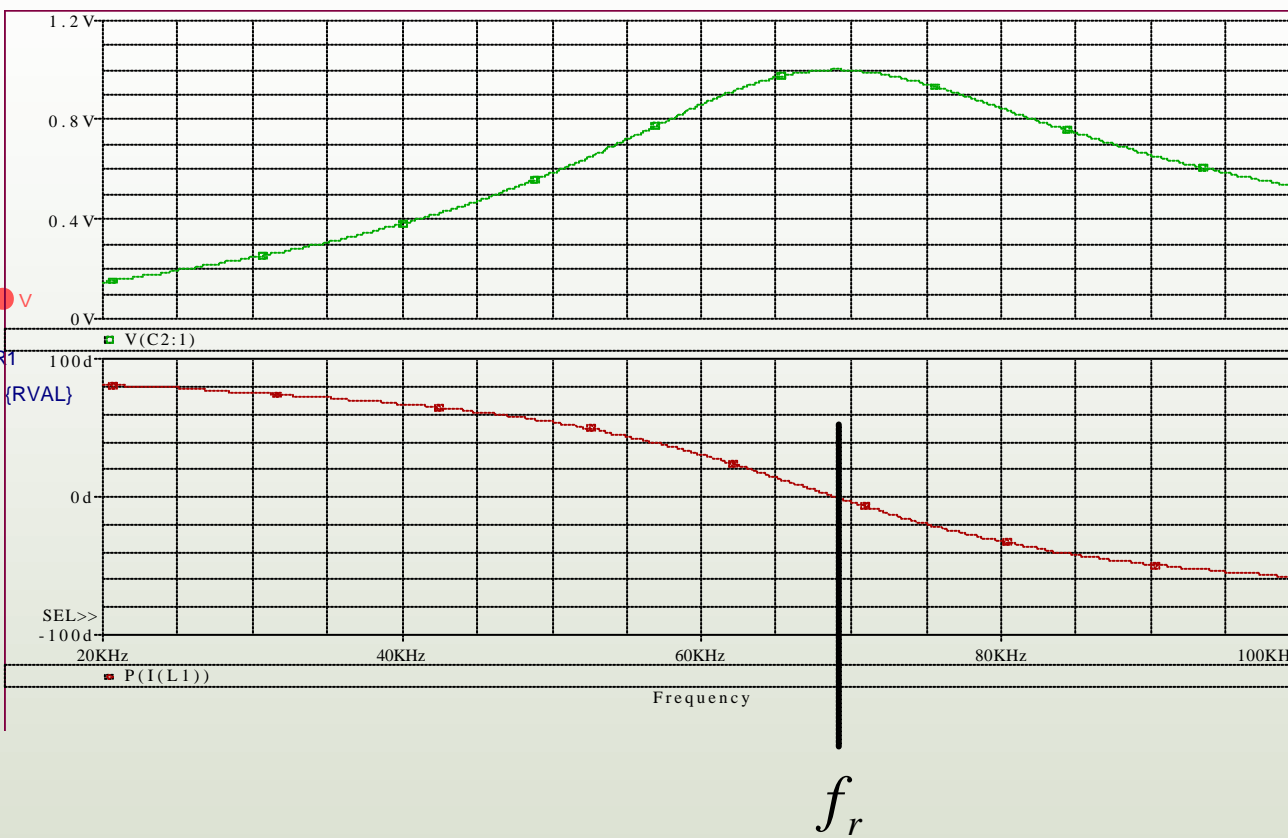
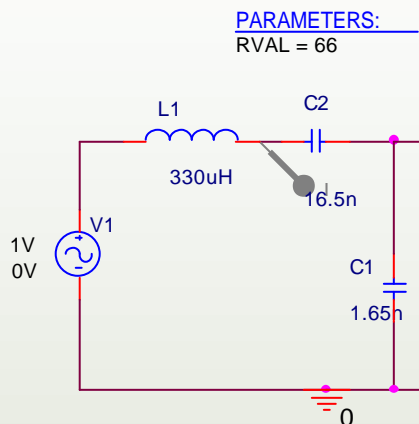
## Diagrama de bode

$$\frac{\hat{v}_{lamp}}{\hat{f}_s}$$



# Pequeña señal (XI)

## Obtención de $f_1$



$$f_1 \approx |f_s - f_r|$$

Incluso modelando la lámpara como  $R_{lamp}$   $f_1$  cambia mucho con el envejecimiento

# References

- [1] Yan Yin, Regan Zane, John Glaser and Robert Erickson. Small Signal Analysis of Frequency-Controlled Electronic Ballast. IEEE Trans. on Circuit and Systems – I: Fundamental Theory and Applications. Vol. 50, No.8 August 2003. pp.1103-1110.
- [2] Yan Yin, Regan Zane, John Glaser and Robert Erickson. Direct Modeling of Envelope Dynamics in Resonant Converters. Proc. of the IEEE PESC pp1313-1318.